



مجلة البحوث الهندسية

1992

المريخ (مارس)

العدد الثالث

مجلة البحوث الهندسية تصدر دورياً عن مركز بحوث العلوم الهندسية - طرابلس / الجماهيرية

- 1 - خصائص وفروق نظامي التعليم الهندسي الاكاديمي والمهني .
(مفتاح على شتوان - موسى محمد موسى - عبد القادر الصادق عكي)
- 2 - تقييم لمسيرة البحث العلمي الجامعي والدراسات العليا في المجال الهندسي .
(صالح يحيى الباروني - صالح - رمضان قشوط)
- 3 - نحو تقارب عالمي أفضل في مجال الدرجات العلمية الممنوحة لدراسات التعليم الهندسي العالي .
(مصطفى محمد الطويل)
- 4 - الطاقة المستهلكة في استخلاص الألومنيوم تحت الظروف المتوفرة بالجماهيرية .
(سليمان يونس قجم)
- 5 - تحليل أداء نظام التبريد الامتصاصي الشمسي باستخدام المواد الماصة الصلبة تحت شروط مدينة بنغازي المناخية ودراسة تأثير سماكة المجمع على الاداء .
(محمد عدنان فرواتي)
- 6 - الصناعات المستقبلية اثارها وسياسات تطويعها في الوطن العربي
(فتحى بن شتوان)
- 7 - تقنية الخرسانة بالدوا النامد . الحاجة للبحث والتطوير .
م . الحق و م . وورد
- 8 - «دستور معايير CEB النمطي» كقاعدة متينة
لدساتير المعايير بالدول النامية
ت . تاسيوس
- 9 - تحسين خواص شد الاسمنت الترابي باستعمال الجير
م . عمر، ع . بن لطيف و ع . العرعود
- 10 - تقوية العوارض الخرسانية المسلحة المشققة نتيجة القصر
م . القلهود، أ . بن زيتون، الزريق و م . التاغدي

تحليل أداء نظام التبريد الامتصاصي الشمسي باستخدام المواد الماصة الصلبة تحت شروط مدينة بنغازي المناخية ودراسة تأثير سماكة المجمع على الأداء

د. محمد عدنان فرواق

عضو هيئة التدريس بوحدة بحوث الهندسة الميكانيكية -

مركز بحوث العلوم الهندسية بنغازي

الملخص:

بمساحة متر مربع واحد وزاوية ميل 20° باتجاه الجنوب وبساعات مختلفة. فقد تبين لدى تطبيق البرنامج من أجل درجة حرارة تبخر 5°م ودرجة حرارة تكثف 40°م بأن المجمع ذو السماكة 3,5 سم يعطى سعة تبريد يومية تبلغ 3,4 ميغاجول بمعامل أداء كلي شمسي 0,16 وأن المجمع ذو السماكة 12 سم يعطى سعة تبريد يومية تبلغ 5 ميغاجول بمعامل أداء كلي شمسي 0,21 كما تبين أن سعة التبريد اليومية تبلغ قيمتها العظمى عند زيادة سماكة المجمع (الزيوليت) الى حوالي 12 سم وأنه لا جدوى من زيادة السماكة الى أكثر من ذلك.

ان أنظمة التبريد التي تستخدم المواد الماصة الصلبة هي أبسط أنظمة التبريد الشمسية من الناحية الانشائية. والموضوع الحالي يتناول بالبحث التحليلي نظام التبريد الامتصاصي الشمسي باستخدام ثنائي من الزيوليت (MS-13X) والماء. ويتألف النظام من ثلاث وحدات أساسية وهي المجمع والمكثف والمبخر وتعمل تحت التخلخل. وقد جرى اعداد برنامج الحاسوب لغرض تحليل اداء النظام تحت شروط مدينة بنغازي المناخية خلال نهار 7/17 لمجمع

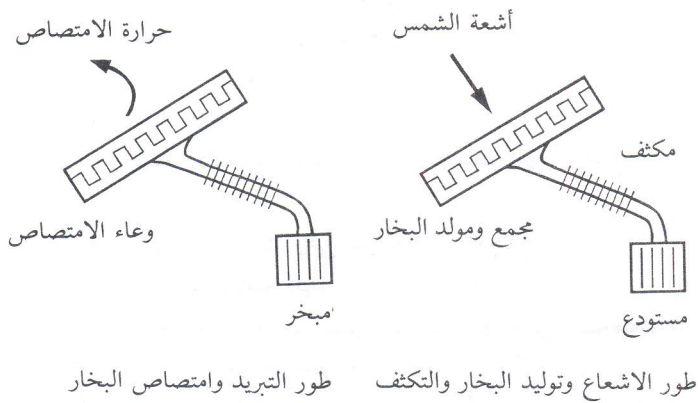
| الرموز: | |
|-------------------|---|
| COP | معامل الأداء الكلي الشمسي |
| COP _i | معامل الأداء الكلي الداخلي |
| C _p | الحرارة النوعية للماء |
| g _z | كتلة الزيوليت |
| G _{Tn} | شدة الاشعاع الشمسي الكلي الساقط على المجمع في الفترة الزمنية ΔT _n |
| L | سماكة الزيوليت وهي سماكة وعاء المجمع |
| LH | الحرارة الكامنة للماء |
| m | كتلة الماء المتكثف اعتباراً من الشروق وحتى اللحظة τ _N |
| (MC) _n | الحرارة النوعية للمجمع في الفترة الزمنية |
| Δτ _n | مع أصغر فرق درجة الحرارة في الأجزاء المختلفة للمجمع |
| (MC) _e | الحرارة النوعية المكافئة للمجمع في الفترة الزمنية Δτ _n |
| P | ضغط البخار |
| P _e | ضغط تكثف الماء |
| P _e | ضغط تبخر الماء |
| Q _e | سعة التبريد للنظام اعتباراً من شروق الشمس وحتى اللحظة τ _N |
| Q _c | السعة الحرارية للمجمع اعتباراً من شروق الشمس وحتى اللحظة τ _N |
| Q _r | الطاقة الشمسية الساقطة على المجمع اعتباراً من شروق الشمس وحتى اللحظة τ _N |
| S | معدل الطاقة الشمسية التي تم انتقالها الى المجمع في الفترة ΔT _n |
| ST | الزمن الشمسي |
| T | درجة حرارة الزيوليت وهي درجة حرارة وعاء المجمع |
| T _a | درجة حرارة الجو |
| T _{ad} | درجة حرارة الامتصاص |
| T _g | درجة حرارة الزيوليت خلال مرحلة التكثف |
| T _s | درجة الحرارة التي يبدأ الزيوليت عندها بطرح البخار |
| T _s | درجة الحرارة التي يبدأ الزيوليت عندها بامتصاص البخار |
| U ₁ | معامل الفقد الحراري الكلي للمجمع |
| X | السعة الامتصاصية للزيوليت |
| X _a | السعة الامتصاصية للزيوليت عند بداية التكثف |
| X _g | السعة الامتصاصية للزيوليت عند نهاية التكثف |
| Δ | مقدار التغير في المتغير خلال الفترة الزمنية Δτ _n |
| η | كفاءة المجمع |

اصطناعى فان معامل الأداء ينخفض نتيجة ارتفاع حرارة الامتصاص فى الزيوليت الاصطناعى بالنسبة للطبيعى ، ومع هذا فهو أكبر من معامل الأداء الكلى الشمسى لنظام التبريد الامتصاصى الذى يعمل بمحلول الليثيوم بروميد - ماء تحت شروط مماثلة ، أى باستخدام مجمع شمسى مسطح وبدرجة حرارة تكثف 50 م° .

والبحت الحالى يتناول دراسة أداء نظام التبريد الامتصاصى البسيط باستخدام زيوليت اصطناعى ومكثف يعمل بالحمل الطبيعى للهواء وذلك تحت شروط مدينة بنغازى المناخية . كما يتناول البحت دراسة تأثير زيادة سماكة المجمع (الزيوليت) على درجة حرارة المجمع وبالتالى على سعة التبريد اليومية ومعامل الأداء .

2 - تركيب النظام ومبدأ عمله :

يتألف النظام هنا من ثلاث وحدات هى المجمع والمكثف والمبخر كما فى الشكل (1) ويستخدم فيه الزيوليت الاصطناعى (MS-13X) والماء كثنائى امتصاص . أما المجمع فيشكل الوحدة الأساسية فى النظام ويميل 20° مع الأفق ومتجه نحو الجنوب ، وذلك لجمع مقدار كبير من الاشعاع الشمسى صيفاً فى مدينة بنغازى ذات خط العرض 32,1° شمالاً . ويعمل النظام بطورين اثنين خلال اليوم الواحد .

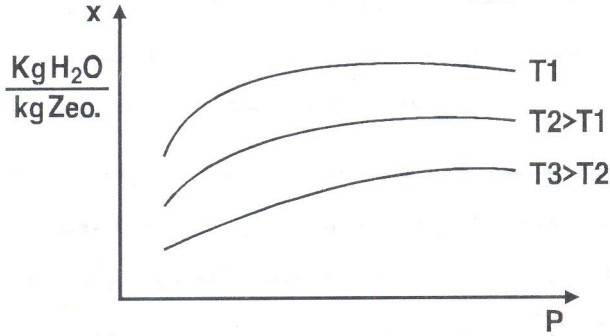


ان توافق ازدياد الحاجة للتبريد فى فصل الصيف مع ازدياد الاشعاع الشمسى ، وامكانية تشغيل أنظمة التبريد الامتصاصية بالطاقة الحرارية يشجعان على تشغيل أنظمة التبريد الامتصاصية بالاشعة الشمسية وعلى تطويرها عن طريق الأبحاث النظرية والعملية . ولعل أنظمة التبريد التى تستخدم المواد الصلبة هى أبسط أنظمة التبريد الشمسية من الناحية الانشائية نظراً لامكانية استخدام أشعة الشمس بشكل مباشر والاستغناء عن المضخة وبرج التبريد ، هذا بالإضافة الى امكانية استغلال الفائض الحرارى فى تسخين الماء⁽¹⁾ . وهناك أبحاث نظرية وعملية كانت تجرى حتى فترة قريبة لتطوير أنظمة التبريد الامتصاصية (الصلبة) الشمسية وذلك فى مجال ايجاد أفضل ثنائى امتصاص (مادة ماصة صلبة - سائل تبريد) وفى ايجاد أفضل تصميم وشروط تشغيل (2) ، (3) .

يتكون نظام التبريد الامتصاصى البسيط من ثلاث وحدات رئيسية هى المجمع والمكثف والمبخر ، وهو يؤدي عملية التبريد ليلاً . أما نظام التبريد الامتصاصى المركب فهو يضم بالإضافة الى الوحدات الثلاث الأساسية السابقة وحدة اضافية لاستيعاب البخار أو امتصاصه وذلك لانجاز عملية التبريد نهاراً . أما المجمع فهو يعمل كمجمع شمسى مسطح بسيط وكوعاء يحوى المادة الماصة المشبعة بسائل التبريد . والمجمع وعلى الأخص ثنائى الامتصاص الذى يحويه المجمع يشكل العنصر الأساسى والهام فى نظام التبريد الامتصاصى (1) ، (4) ، (5) . ودور المادة الماصة هنا يشبه الى حد كبير دور الضاغط فى نظام التبريد الذى يعمل على مبدأ ضغط البخار . ولعل الزيوليت - ماء هو أبرز ثنائى أعطى أداءً عالياً حتى فى حالة استخدام مكثف يعمل بالحمل الطبيعى للهواء (2) ، (3) . والزيوليت هو مادة قلوية متوفرة بشكل طبيعى كما أنه يحضر صناعياً (3) ، (6) .

ولقد بينت الأبحاث المخبرية حول نظام التبريد الامتصاصى ان معامل الأداء الكلى الشمسى يمكن أن يبلغ 0,45 فى حال استخدام مجمع مسطح معين بداخله زيوليت طبيعى وباستخدام مكثف يعمل بالحمل الطبيعى للهواء بدرجة تكثف 50 م° (1) . أما فى حال استخدام زيوليت

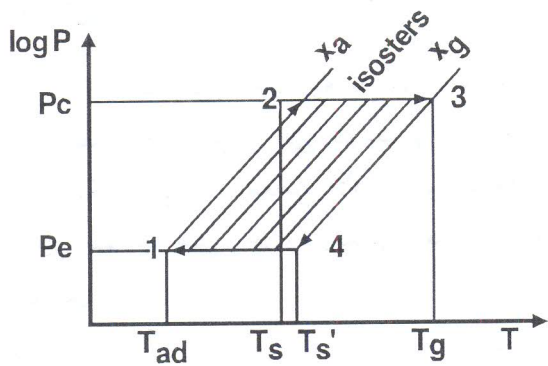
العلاقة بين ضغط البخار P وسعة الامتصاص X لدرجات حرارة مختلفة كما هو مبين بالشكل (2).



الشكل 2: منحنيات العلاقة بين سعة الامتصاص للزيوليت X و ضغط البخار P.

3 - دائرة التبريد:

ترسم دائرة التبريد على محوري درجة حرارة الزيوليت T والضغط P السائد داخل النظام لتوضيح الطورين اللذين يمر بهما النظام خلال اليوم الواحد بما في ذلك المراحل المبينة في الشكل (3) على النحو التالي:



الشكل 3: دائرة التبريد على محوري درجة حرارة الزيوليت T و ضغط البخار P.

1- 2 وهي مرحلة تسخين الزيوليت المشبع بفعل أشعة الشمس التي يحولها السطح الأسود الى طاقة حرارية. اذ يرافق ذلك ارتفاع درجة حرارة الزيوليت و ضغط البخار من T_{ad} و P_e الى T_s و P_c حيث يبدأ طرح البخار وتكثفه. ودرجة الحرارة T_s التي يبدأ عندها الزيوليت بطرح البخار تحسب من العلاقة التالية:

$$T_s = \left(\frac{1}{T_{ad}} - \frac{LH}{\Delta H} \left(\frac{1}{T_e} - \frac{1}{T_c} \right) \right)^{-1}$$

مجلة البحوث الهندسية (39)

التخلخل بين ضغط تكثف الماء و ضغط تبخره. وعليه فان للمجمع ثلاث وظائف وهي جمع الأشعة وتوليد البخار ثم امتصاصه وهو بشكل وعاء مسطح من النحاس بمساحة متر مربع واحد مطلي بطلاء أسود ومغطى بلوح زجاجي واحد. ويوجد بداخل الوعاء فواصل متقاطعة من الألومنيوم تشكل حجراً تحوى الزيوليت ووظيفتها نقل الحرارة وجعل درجات الحرارة داخل الوعاء أكثر تجانساً، وكذلك دعم المجمع في مقاومته الضغط الخارجى (الجوى)، وهي مثقبة بشكل يسمح بحركة البخار باتجاه مخرج المجمع وبالعكس. والوعاء معزول بعازل حرارى من الجوانب والسطح الخلفى. وسهابة الوعاء تساوى سهابة الزيوليت ويطلق عليها هنا سهابة المجمع. أما المكثف فهو ذو سعة كافية لتكثيف البخار القادم من المجمع وذلك بالحمل الطبيعى للهواء. هذا ويسمح المكثف بجريان الماء المتكثف تحت الجاذبية الأرضية الى المستودع أو المبخر كما في الشكل (1).

أما الزيوليت الاصطناعى (MS-13X) فهو أحد المركبات القلوية الاصطناعية وهو بحكم تركيبه البلورى بشكل X يحوى سطحاً داخلياً كبيراً يجعله قادراً على امتصاص الغازات ذات القطر أصغر من 10 أنغستروم بنسبة امتصاص تصل الى 30 بالمئة من وزنه في درجة حرارة الغرفة. وهو حامل من الناحية الكيميائية ويحافظ على قدرته الامتصاصية لفترة زمنية طويلة. ولعل أهم مزاياه في مجال التبريد هي:

- تعتبر قدرته على امتصاص نسبة عالية من بخار الماء في الضغوط المنخفضة ميزة أساسية في مجال التبريد اذ يجرى امتصاص بخار الماء تحت ضغط التبخر المنخفض المقابل لدرجة حرارة التبخر المنخفضة.

- تتأثر سعته الامتصاصية تأثراً قليلاً بضغط البخار المراد امتصاصه وعليه فان ارتفاع ضغط التكثف لا يؤثر كثيراً على سعته الامتصاصية وبالتالي يمكن استخدام مكثفات بسيطة تبرد بالحمل الطبيعى للهواء مع المحافظة على أداء جيد.

- تغير سعته الامتصاصية تغيراً كبيراً لدى تغير درجة حرارته يسمح باستخدام الأشعة الشمسية مباشرة وبدون وسائط معقدة (3)، (6)، (7).

هذا ويمكن ملاحظة خصائص الزيوليت العملية في منحنى

سعة الامتصاص عملياً هو قليل خلال طور الاشعاع الشمسي فانه يمكن اعتبار ΔH ثابتة وبالتالي فان COP ثابت أيضاً من أجل نوع معبر من الزيوليت .

ولتقسيم أداء النظام ككل وتحت تأثير أشعة الشمس كمصدر طاقة لتشغيله فانه يؤخذ في الاعتبار الفقد الشمسي والحرارى والحرارة المختزنة في المجمع بالإضافة الى حرارة الامتصاص (كما هو في المرحلة السابقة). ولاجراء هذا التقييم بحسب معامل الاداء الكلى للنظام . وهو يعبر عن أداء النظام كى يزيد اعتباراً من شروق الشمس وحتى لحظة ما من اليوم . ويمكن مطالعة معامل الأداء هذا كمعامل داخلي ومعامل أداء كلى شمسي على النحو التالى :

$$(5) COP_i = Q_e / Q_r$$

$$(6) COP = \eta \cdot COP_i = Q_e / Q_r$$

حيث عن كفاءة المجمع في جمع الأشعة الشمسية وتحويلها إلى طاقة مفيدة وهو يساوي :

$$(7) \eta = Q_c / Q_r$$

أما Q_e , Q_c , Q_r فهي على التوالي سعة التبريد والسعة الحرارية للمجمع والطاقة الشمسية الساقطة على المجمع وتحسب بجمع مركبات كل منها خلال الفترات الزمنية المتساوية $\Delta \tau_n$ اعتباراً من شروق الشمس وحتى اللحظة τ_N . وعليه فان :

$$(8) Q_e = \sum_{n=1}^N \Delta Q_{en} \quad Q_c = \sum_{n=1}^N \Delta Q_{cn}$$

$$Q_r = \sum_{n=1}^N \Delta Q_{rn}$$

$$(9) \Delta Q_{en} = \Delta m_n [LH - C_p (T_c - T_e)]$$

$$(10) \Delta Q_{cn} = (MC)_n \Delta T_n + \Delta H \Delta m_n$$

$$(11) \Delta m_n = g_z (- \Delta X_n)$$

$$(12) \Delta X_n = A (- \Delta T_n)$$

$$(13) \Delta Q_{rn} = G_{Tn} \Delta \tau_n$$

الثابت A هو ثابت العلاقة بين ΔX_n مقدار التغير في سعة الامتصاص للزيوليت و ΔT_n التغير في درجة حرارته خلال الفترة الزمنية $\Delta \tau_n$. ويعتبر A هنا ثابتاً في مجال تغير درجات

2-3 : وهي مرحلة توليد البخار التى تستمر باستمرار تقديم طاقة الامتصاص اللازمة من الأشعة الشمسية حتى يبلغ الزيوليت درجة حرارته القصوى T_g وتنخفض أثناء ذلك سعة الزيوليت أو استيعابه للماء من X_a الى X_g . ويرافق ذلك تكثف بخار الماء في المكثف تحت الضغط P_c .

3-4 : وهي مرحلة تبريد المجمع بالحمل الطبيعي للهواء ونشر الطاقة المحسوسة الى الوسط الخارجى اذ تنخفض درجة حرارة الزيوليت وضغط البخار من T_g و P_g الى T'_s و P_e . فتبدأ عملية التبريد المطلوبة أى يبدأ الماء المتجمع في المبخر بالغليان والتبخير . أما درجة الحرارة T'_s فهي تحسب من العلاقة التالية :

$$T'_s = \left(\frac{1}{T_g} + \frac{LH}{\Delta H} \left(\frac{1}{T_c} - \frac{1}{T_e} \right) \right)^{-1} \quad (2)$$

4-1 : وهي مرحلة التبريد أى تبخر الماء وانتقاله من المبخر الى المجمع ثم امتصاصه من قبل الزيوليت حتى الاشباع . ويرافق هذه العملية نشر طاقة الامتصاص من المجمع بواسطة الحمل الطبيعي للهواء .

4 - أداء النظام :

يعرض أداء النظام في التبريد بمعامل الأداء وهو نسبة سعة التبريد للنظام على الطاقة التى يزود بها وفي حال سير العمليات بشكل مثالى فان معامل الأداء يكون تابعاً لدرجات الحرارة التى يتم بها حتى الحرارة ويسمى عندها بمعامل أداء كارنوت ، أى :

$$COP = \frac{T_e (T_g - T_{ad})}{T_g (T_c - T_e)} \quad (3)$$

أما في حين اعتبار LH حرارة تبخر الماء النوعية في المبخر ΔH حرارة الامتصاص النوعية اللازم تقديمها فسببت المشبع بصرف النظر عن كميات الحرارة المفقودة المخزونة أى اللازمة لرفع درجة حرارة محتويات المجمع فان معامل الأداء تابع الى نوع ثنائى الامتصاص وسعة الامتصاص وهو يساوى :

$$COP = LH / \Delta H$$

حيث تبقى نسبة LH في هذه العلاقة ثابتة من أجل درجة حرارة تبخر T_e ثابتة للماء بينما تترادى قيمة ΔH مع خفض سعة الامتصاص للزيوليت عن حد الاشباع . ونظراً لأن تغير

5 - الشروط المطبقة:

شروط الاشعاع الشمسي ودرجات حرارة الجو التي طبقت على نظام التبريد موضوع البحث تماثل تلك الشروط في نهار 7/17 في مدينة بنغازي حيث صيغت بشكل معادلات رياضية لاستخدامها في دراسة وتحليل أداء النظام خلال فترات زمنية متساوية $\Delta\tau_n = 0.5hr$ واعتباراً من شروق الشمس حتى غروبها (8)، (9)، (10)، (11)، والمنحنيات التي تمثل شدة الاشعاع الشمسي الكلي الساقط على سطح المجمع G_T ودرجات حرارة الجو T_a حسب تغير الزمن الشمسي ST مبينة في الشكل (4). ولقد اعتبرت درجة الحرارة $40^\circ C$ كدرجة حرارة تكثف يمكن أن تحصل لدى استخدام مكثف مناسب يبرد بالحمل الطبيعي للهواء. كما ان اعتبار درجة حرارة التبخر $5^\circ C$ يأتي متوافقاً مع احتياجات التبريد في مجال تكييف الهواء.

6 - النتائج والمناقشة:

جرى اعداد برنامج الحاسوب لغرض تحليل أداء نظام التبريد الامتصاصي البسيط تحت شروط مدينة بنغازي المناخية المذكورة سالفاً. ومن أهم متغيرات النظام التي ترد هنا حسب تغير الزمن الشمسي هي درجة حرارة المجمع وكمية الماء (سائل التبريد) المتكثف وكفاءة المجمع ومعامل الأداء الكلي الشمسي كما هو مبين في الأشكال (5، 6، 7، 8، 9).

الحرارة المحدود في مرحلة توليد البخار، فهو يتراوح عملياً من $50^\circ C$ الى $100^\circ C$ تقريباً (4).

ولحساب ΔT_n مقدار تغير درجة الحرارة خلال الفترة الزمنية $\Delta\tau_n$ فإنه يحدد تغير درجة حرارة الزيوليت T بالنسبة للزمن τ اعتباراً من شروق الشمس، وذلك بالاستفادة من علاقة التوازن الحراري للمجمع في اللحظة τ مع اعتبار تجانس درجات الحرارة في وعاء المجمع نتيجة لوجود نواقل الألومنيوم والنحاس بداخله [8]، [9] أي:

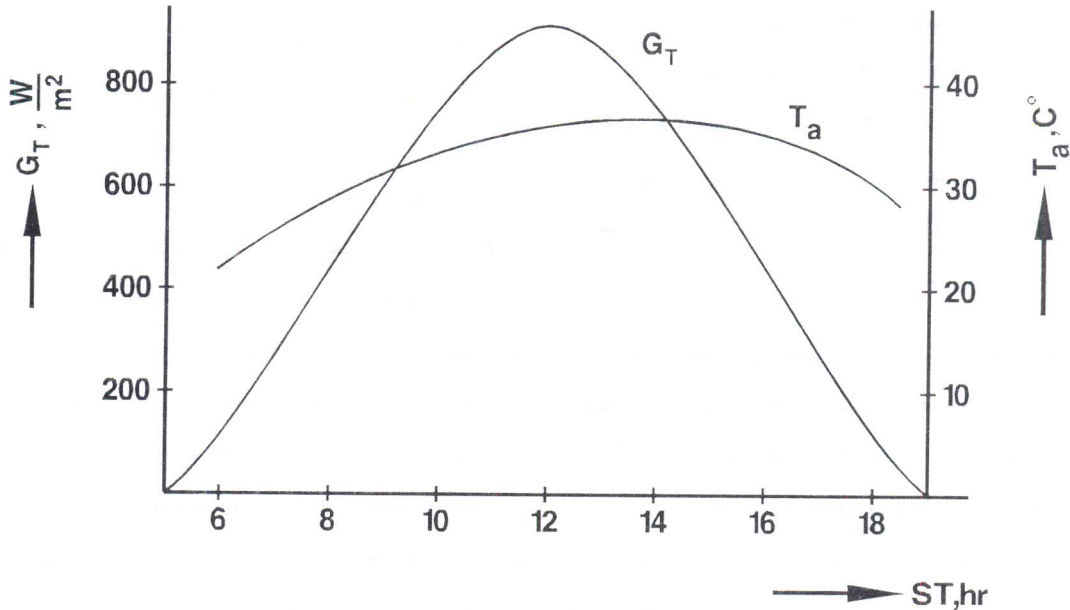
$$(14) [(MC) - \Delta H.A.g_z] \frac{dT}{d\tau} = [S - U_1 (t - T_a)]$$

$$(15) (MC) - \Delta H.A.g_z = (MC)_e$$

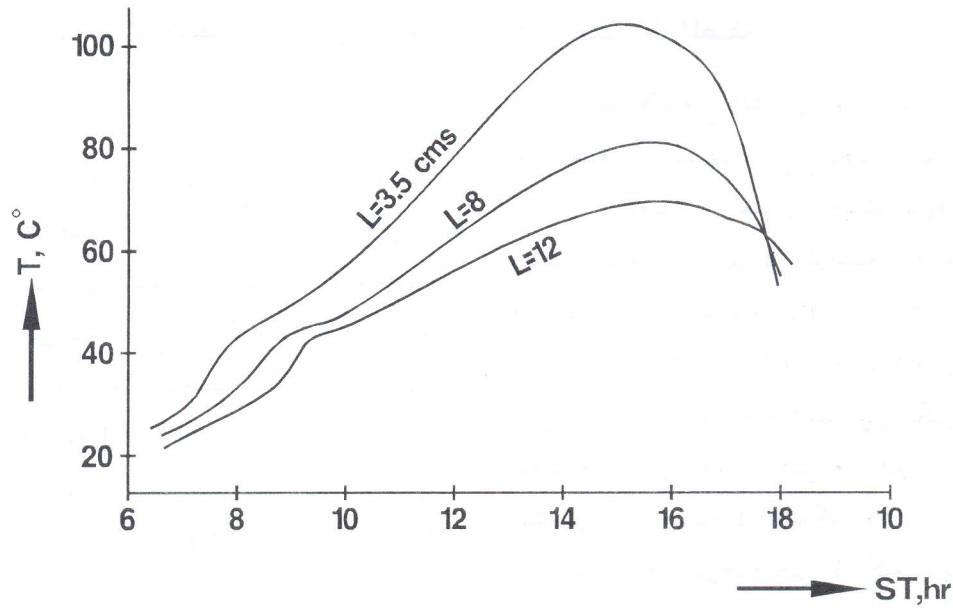
وبافتراض أن قيم $(MC)_e$ و S و U_1 و T_a تبقى ثابتة خلال الفترة الزمنية $\Delta\tau_n$ فإنه يمكن حل المعادلة السابقة وحساب درجة حرارة الزيوليت في نهاية هذه الفترة كالتالي:

$$(16) \frac{S - U_1 (T_2 - T_a)}{S - U_1 (T_1 - T_a)} = \text{EXP} [-U_1 \Delta\tau_n / (MC)_e]$$

حيث T_1 هي درجة حرارة الزيوليت في بداية الفترة الزمنية $\Delta\tau_n$.



الشكل 4: شدة الاشعاع الشمسي الكلي الساقط على المجمع G_T ودرجة حرارة الجو T_a حسب تغير الزمن الشمسي ST .



شكل 5 : تغير درجة حرارة الزيوليت بالنسبة للزمن ولساعات مختلفة .

يمكن ضمها الى حرارة التكثف وحرارة الامتصاص والحرارة المخزونة في المجمع ثم الاستفادة من هذا المجموع في تسخين الماء أو تسخين المجمع تسخيناً أولياً في صباح اليوم التالي .

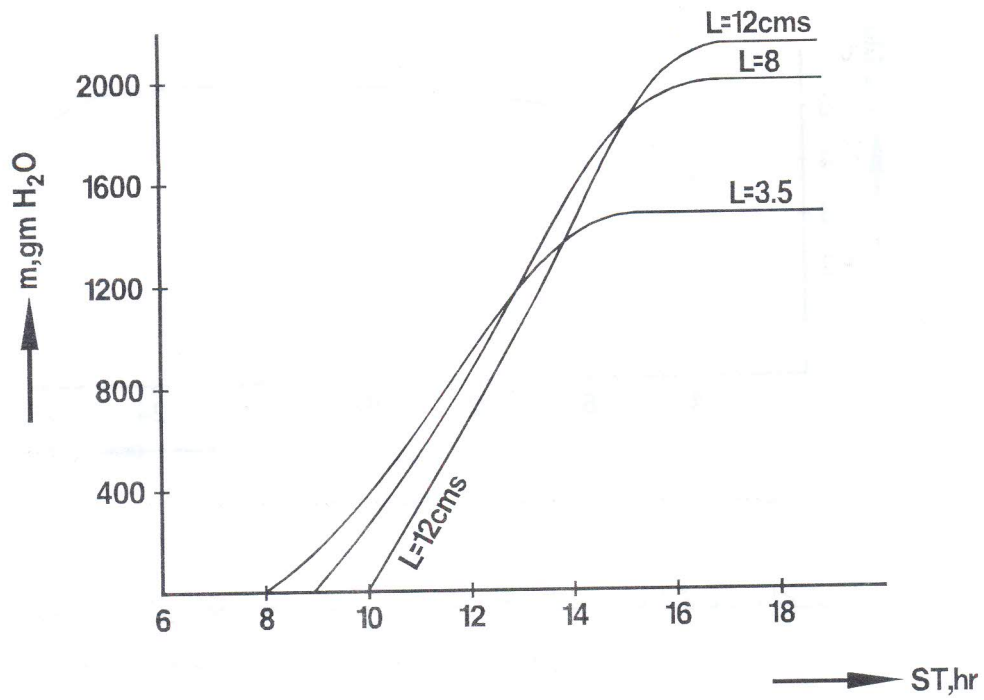
والشكل (7) يبين كفاءة المجمعات الثلاثة في تحويل الطاقة الشمسية الى الطاقة اللازمة لطرح البخار والطاقة الحرارية المخزونة في المجمع، حيث يؤدي ارتفاع الزيوليت الى زيادة الفقد الحرارى وانخفاض الكفاءة .

أما بالنسبة لمعامل الأداء الكلى الشمسى فانه يبلغ قيمة عظمى ثم يتناقص مع استمرار الاشعاع الشمسى حتى المغرب كما في الشكل (8). وفي حالة الاستفادة من طاقة الاشعاع الشمسى بعد توقف التكثف فان معامل الأداء الكلى الشمسى عند توقف التكثف يصبح المعيار الأساسى لأداء النظام اليومى اذ يبلغ معامل الأداء الكلى الشمسى في هذه الحالة 0,21 من أجل مجمع بسماكة 12 سم .

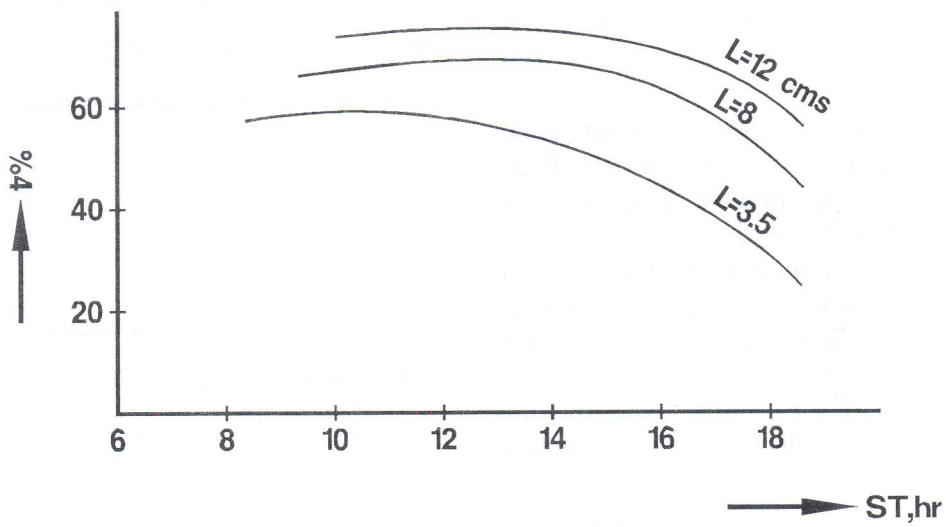
ولعل المقياس المطلق لأداء النظام هو سعة التبريد اليومية . وسعة التبريد اليومية تتناسب طردياً مع كتلة الماء المتكثف خلال طور الاشعاع الشمسى وبالتالي تتناسب مع كتلة الزيوليت وسماكته في المجمع وعليه فان سعة التبريد تتراد مع تزايد سماكة الزيوليت على أن لا تؤدي هذه الزيادة في السماكة الى خفض درجة حرارته العظمى الى حدود قريبة من درجة الحرارة T_s . فكما هو مبين في الشكل (9) إن زيادة السماكة

يلاحظ في الشكل (5) أن ارتفاع درجة حرارة الزيوليت يكون بطيئاً في مرحلة التكثف بالمقارنة مع ارتفاعها قبل البدء بالتكثف عند درجة الحرارة T_s وذلك بسبب استهلاك جزء من الطاقة الشمسية في تبخير (طرح بخار) الماء من الزيوليت . كما أن معدل ارتفاع درجة حرارة الزيوليت في المجمع ذي السماكة الكبيرة أصغر مما هو في المجمع ذي السماكة الصغيرة وذلك نتيجة لتأثير السعة الحرارية للمجمع .

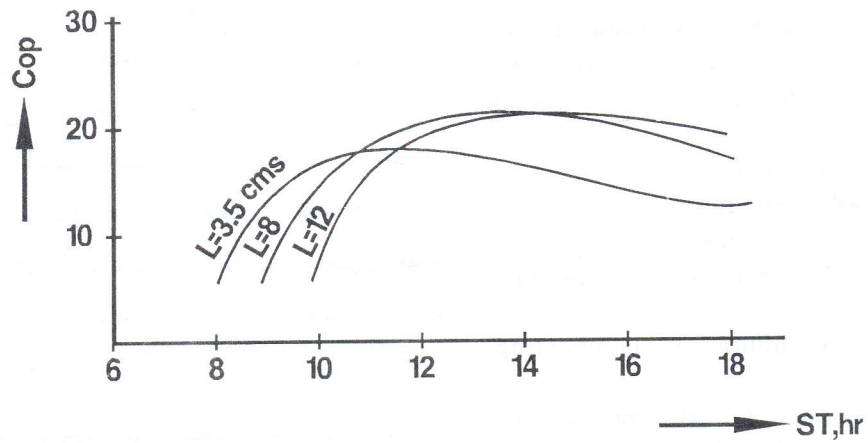
أما تكثف الماء فهو يبدأ عندما ترتفع درجة حرارة الزيوليت الى T_s ويرتفع ضغط البخار داخل النظام الى الضغط المقابل لتكثف الماء في درجة الحرارة 40°C ويستمر التكثف بمعدل يتناسب مع معدل ارتفاع درجة حرارة الزيوليت ويتوقف عندما يصبح معدل ارتفاع درجة الحرارة صفراً أى عندما تبلغ درجة حرارة الزيوليت نهايتها العظمى كما هو في الشكل (6). وكمية الماء المتكثف هي مميز هام ويعبر عن سعة التبريد اليومية للنظام . ومن الملاحظ أن ازدياد السماكة أى ازدياد كتلة الزيوليت يؤدي الى تأخر التكثف الا أن معدل الماء المتكثف يكون أكبر مما هو في المجمع ذي السماكة الأصغر . وبما أن درجة حرارة الزيوليت تصل الى نهايتها العظمى مبكراً في المجمع ذو السماكة الصغيرة لذا فان التكثف يتوقف فيها مبكراً أيضاً بالمقارنة مع المجمعات ذوات السماكة الكبيرة . وعليه فان طاقة الاشعاع الشمسى اعتباراً من توقف التكثف وحتى الغروب هي عبارة عن طاقة فائضة



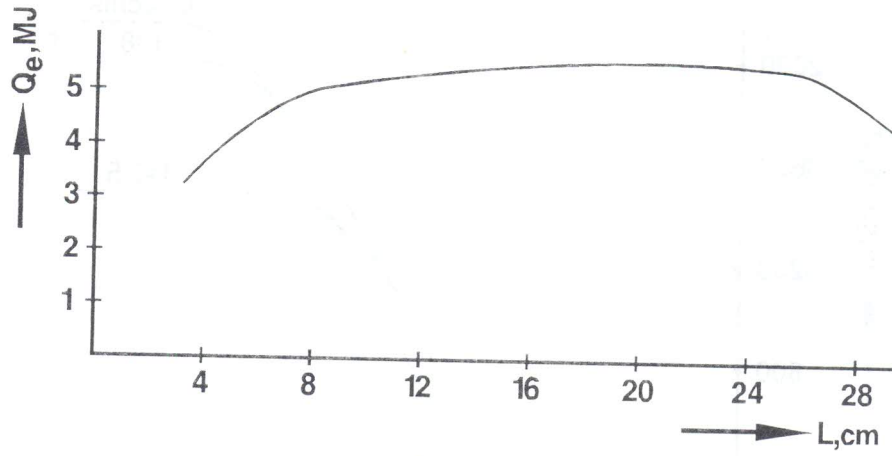
الشكل 6: كتلة الماء المتكثف لساعات مختلفة.



الشكل 7: كفاءة المجمع لساعات مختلفة.



الشكل 8: معامل الاداء الكلي الشمسي لساعات مختلفة.



الشكل 9: منحنى العلاقة بين سعة التبريد وسماكة الزيوليت (المجمع).

في التبريد والتكييف وإيجاد السبل العملية لتصنيعه بأقل كلفة.

المراجع:

- (1) Sand, L.B., Mumpton, F.A., Natural Zeolites, pergamon press, 1976.
- (2) Meunier, F., Mischler B., Solar cooling through cycles using microporous solid absorbents, Proc. Int. sol. Energy Soc. Silver Jubilee congress 1979, V. 1., pergamon, NY, 1979.
- (3) Tchernev, D. I., Exploration of molecular sieve zeolites for the cooling of buildings with solar energy, National Technical Information Service, Springfield, 1977.
- (4) Guillemintot, J., Meunier F., Etude experimentale d'une glaciere solaire utilisant le cycle zeolithe 13X-eau, Rev. Gen. Therm., Fr. n° 239, Novembre, 1981.
- (5) Fawati, M. A., Some aspects of adsorption cooling using solar energy, bull. Tech. Univ. Istanbul Vol. 38, 1985.
- (6) Shigeishi, R.A., Langford, C.H. Hollebhone, B. R., Solar energy Storage using chemical potential change associated with drying of zeolites, solar energy, V. 23, 1977.
- (7) Union Carbide, Moleuler sieves Catalogue.
- (8) Duffie, Beckman, Solar Engineering of thermal processes, John Wiley, Inc, 1980.
- (9) Kilic, A., Öztürk., A. Günes Enerjisi, Kipas dağıtımçilik, 1983.
- (10) Jones, W. P., Airconditioning Engineering, Edward Arnold, 1973.
- (11) Hawas, M. M., Muneer T., Monthly average daily insolation on tilted collectors in LYBYA, Energy Conv. Vol. 20, pergamon, 1980.

من 3,5 سم الى 12 سم يؤدي الى رفع سعة التبريد اليومية من 3,4 ميغاجول الى 5 ميغاجول أما زيادة السماكة من 12 سم وحتى 24 سم فإن تعادل تأثير زيادة السماكة تقريباً مع انخفاض درجة الحرارة يؤدي الى ثبات سعة التبريد تقريباً في هذا المجال. أما زيادة السماكة الى أكبر من 24 سم فإن سعة التبريد تنخفض نتيجة انخفاض درجة الحرارة واقترابها من T_s .

7 - الاستنتاج:

- باستخدام الزيوليت الاصطناعي (MS-13X) والماء كثنائي امتصاص في نظام التبريد الامتصاصي البسيط فإن معامل الأداء الكلي الشمسي اليومي يصل الى 0,21 تحت شروط مدينة بنغازي المناخية في 7/17.
- ان زيادة سماكة الزيوليت في المجمع حتى 12 سم تؤدي الى زيادة سعة التبريد حتى 5 ميغاجول من أجل مجمع مسطح بمساحة متر مربع واحد. وان زيادة السماكة الى أكبر من 12 سم لا تؤدي الى زيادة سعة التبريد بل تؤدي الى زيادة الكلفة وقد تؤدي الى انخفاض السعة أيضاً.
- ان استخدام المواد الماصة الصلبة والاستفادة من طاقة الاشعاع الشمسي بشكل مباشر يجعل نظام التبريد الامتصاصي بسيطاً فهو بذلك لا يتطلب استعمال قطع متحركة فيه كالمضخة أو الصمامات ويمكن أن يعمل المكثف بالحمل الطبيعي للهواء.

كما أن هذه النتائج تشجع على البحث عن مواد ماصة ماثلة متوفرة محلياً والعمل على تطوير هذا النظام لاستخدامه